

京都大学工学部 正員 井上頼輝 学生員 多田東臣

前年会⁽¹⁾で、温熱排水の海岸での拡散を理論的に示した。今回は、その後の理論の進展と、火力発電所前面海域における実測例、および生物影響の推定について述べる。

1. 理論的考察

前報において、温度躍層を一定厚さにとり、上昇水温を $T^{\circ}\text{C}$ としたとき、基礎方程式として

$$\frac{\partial T}{\partial t} = D_x \frac{\partial^2 T}{\partial x^2} + D_y \frac{\partial^2 T}{\partial y^2} - U_x(t) \frac{\partial T}{\partial x} + Q \delta(x) \delta(y) - HT \quad (1)$$

ここに t ；時間[日]， D_x, D_y ；水平方向の拡散係数[m²/日]， $\delta(x), \delta(y)$ ；テルタ函数[1/m]， Q ；熱負荷[°C m²/日]であり、流速 U_x が岸に平行に、恒流 a [m/day]，1日潮 b_1 [m/day]，半日潮 b_2 [m/day]、連角 ω_0 (-)を持ち。

$$U_x(t) = a + b_1 \sin \omega_0 t + b_2 \sin (2\omega_0 t + \omega_0) \quad (2)$$

で示されると、一般解は放出時間が十分長く、平衡状態になれば

$$T(x, y, \infty) = \frac{Q}{4\pi D_x D_y} \int_0^\infty dr \exp \left\{ -Hr - \frac{y^2}{4D_y r} - \frac{[x - ar - \frac{b_1}{\omega_0}(\cos \omega_0 t - \cos \omega_0(t-r)) + \frac{b_2}{2\omega_0 + \omega_0}(\cos(2\omega_0 t) - \cos(2\omega_0(t-r)))]}{4D_x r} \right\} \quad (3)$$

であることを示した。また、 x 方向の拡散項は他項に比べて無視し、半日潮は1日潮よりも小さめて省略すると無限潮時後は

$$T(x, y, \infty) = Q \sum_{n=1}^{\infty} \left\{ \frac{1}{2\pi D_y (t - \tau_n(x, \infty))} \right\}^{-\frac{1}{2}} \exp \left\{ -H(t - \tau_n(x, \infty)) - \frac{y^2}{4D_y (t - \tau_n(x, \infty))} \right\} \quad (4)$$

となる。ここに τ_n は $S_n = \frac{2\pi}{\omega_0} N + \tau_n(x, \infty)$ で求められ、 S_n は $at - \frac{b_1}{\omega_0} \cos \omega_0 t - x = 0$ の解のうち、 $0 \leq S_n < t$ のものである。ここで、実際の排便所より放去される温熱排水は、 x 以外の持つ momentum のために、沖合方向に押し流されて、熱源が岸にあるのではなく、岸から y 。たゞ沖合にあるよき拳動を示す。 y 。は煙突が丁度放去される煙の拡散を論ずる場合の有効高さに相当する。この場合は(1)式の $Q \delta(x) \delta(y)$ の代りに、 $Q \delta(x) \{ \delta(y-y_0) + \delta(y+y_0) \}$ を用ひるのが適切である。その解は

$$T(x, y, t) = \frac{Q}{4\pi \sqrt{D_x D_y}} \int_{t-S}^t \frac{1}{t-s} e^{-H(t-s)} - \frac{(x - \int_{t-S}^t U_x(s) ds)^2}{4D_x(t-s)} \times \left\{ e^{-\frac{(y-y_0)^2}{4D_y(t-s)}} + e^{-\frac{(y+y_0)^2}{4D_y(t-s)}} \right\} ds \quad (5)$$

2. 温排水の実測および理論との比較

直線状の海岸に温排水を排出する電気出力 1×6 万 kW、熱負荷 $Q = 4.8 \times 10^6$ [°C·m²/day] の小規模火力発電所前面水域について、温度上昇分布を示めた。海表面における温度上昇量 T の分布を図に示す。放流口より東方約 300m に港があり、約 1m/sec の流量の淡水が流入するが、その影響は微弱である。測流板によると海流の測定では、流向はほぼ岸に平行であり、流速は

$$v(t) = 16000 - 28700 \sin(4\pi t + \frac{3\pi}{2})$$

で近似できる。ここで $\frac{2\pi}{3}$ は温排水を放出しはじめたときの潮位に対する初期位相である。拡散係

数として $D_x = 10^8 \text{ [cm}^2/\text{sec}]$, $D_y = 10^4 \text{ [cm}^2/\text{sec}]$, 大気との熱交換 $H = 0 \text{ [W/sec]}$

有効放水位置 $y_0 = 130 \text{ m}$, 混合深さ $Z_0 = 2 \text{ [m]}$ として、実測値に相当する理論値を、(5)式にもとづき電算機で求めたのが図の理論値である。理論値と実測値を比較してみると、(a)は放流初期で、放流開始後2時間の値であり、実測値は初期混合の影響が現われている。(b)の場合、潮流は東から西(図では左から左)にはげしく流れしており、実測温度上界域は港から流出する淡水に起因するものであろう。(c)は放流開始後11時間

を経た場合であるが、風による影響のため、実測温水域は沖合方向に押し流されてしまっている。

3. 生物への影響

温排水により水温が上昇すると、水産生物は必ず何らかの影響を受ける。生物の適温域との関連により好影響のある場合と、悪影響のある場合がある。

3.1. 奥への影響 奥は移動能力があり、環境順応を起すので、温排水の影響を受けにくい。どの程度の温度上昇で回避運動を起すかは、まだ良くわかつていながら、一般的な海水奥では $0.03 \sim 0.07^\circ\text{C}$ の温度差を識別しうる。奥の環境順応は高い水温に対しては容易に行われるが、低い水温に対しては行われにくい。そのため温水塊の中に閉じ込められた奥が、まわりの冷海水によりへり死するこことは時々見られるが、それはほとんど起こらない。

3.2 海藻類への影響 ハリは胞子を採集して発芽させ、50日位で成長した集合体を採取する。幼葉期の適温域は $11^\circ\text{C} \sim 13^\circ\text{C}$ 、成葉期では $5^\circ\text{C} \sim 8^\circ\text{C}$ であり、適温域からはつやの良、良値のハリができるが、秋冬期に十分の水温低下が起らなければ芽のみ、アカツサレ病、シロツサレ病など起きる。

これは、水温 10°C 以上の場合は、 $1^\circ\text{C} \sim 2^\circ\text{C}$ の上昇により影響があるといわれる。この他、ツカメコンア、テンカラギの海藻は低温に強く、高水温に弱い。

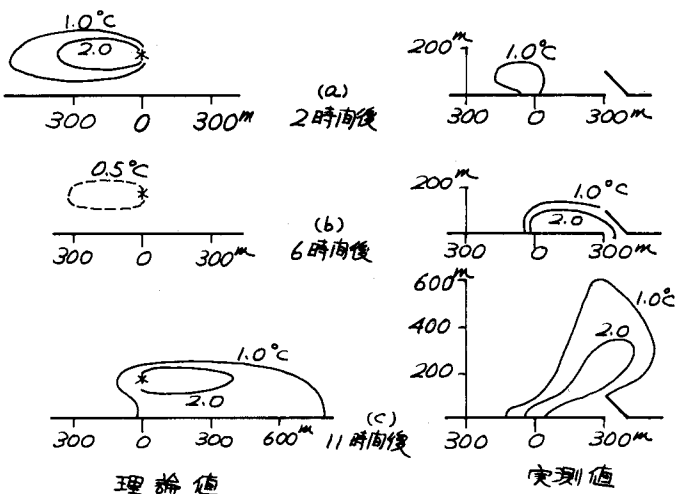
3.3 貝類 貝類は概して温排水に強く、アコヤガイのように温排水の利用により養殖がより好都合に行なえるものもある。

3.4 米国における水温規制 ⁽²⁾⁽³⁾ 米国では、水温上昇が自然の生態学的 balance をくずすとか考えられており、河川での水温の人工的変動量 5°F 、海洋では夏期3ヶ月間 1.5°F 、他の季節 4.0°F として、これをこえないように制限する州が多い。また、水温上昇速度多くの州で1時間 $1 \sim 2^\circ\text{F}$ 以下としている。

(1) 井上輝輝、多田東臣、許那義、海岸へ放出される温海水の拡散について、第26回国際講演会、II-201

(2), (3) Krenkel and Parker, Engineering Aspects of Thermal Pollution, Biological Aspects of Thermal Pollution, Vanderbilt Press

実測と理論の比較



理論値

実測値